

文章编号:1003-8701(2011)01-0019-04

# 土壤多孔介质中的一维非线性吸附平流 - 弥散方程的差分解法

席永慧

(同济大学建筑工程系,上海 200092)

**摘要:**研究了一维非线性吸附平流 - 弥散方程的解问题,用差分方法对 Frenndlich 吸附模式下的一维平流 - 弥散方程进行了数值求解。不同吸附指数情况下、不同时间、不同屏障位置上的浓度结果表明:用差分方法求解一维非线性吸附平流 - 弥散方程,得到的数值结果是合理的,差分格式是收敛的。

**关键词:**非线性吸附;平流 - 弥散方程;Frenndlich 吸附模式;差分方法

**中图分类号:**X53

**文献标识码:**A

## Differential Analysis of One-Dimensional Nonlinear Advection-Diffusion Equation

XI Yong-hui

(Department of Building Engineering, Tongji University, Shanghai 200092, China)

**Abstract:** The solution to one-dimensional nonlinear advection-diffusion equation was analyzed in the paper. The numerical solution to one-dimensional nonlinear advection-diffusion equation under Frenndlich isotherm was obtained through differential method. The results of concentration at different adsorption indexes, different time and different places in a barrier showed that differential methods used in this paper to solve one-dimensional nonlinear advection-diffusion equation were feasible, and the differential form was convergence.

**Keywords:** Nonlinearsorption; Advection-diffusion equation; Frenndlich isotherm; Differential method

在讨论土壤多孔介质中平流 - 弥散方程的解时,大多数情况下阻滞系数都假定为常数,即认为污染物在土壤多孔屏障中的吸附是线性的,但事实上,国内外的研究表明:当水溶液污染物浓度较高时,吸附往往是呈非线性的,一般符合 Langmuir 或 Frenndlich 模式<sup>[1-3]</sup>。

对均质的、各项同性、饱和的多孔介质,描述可溶性污染物的一维平流 - 弥散迁移方程(忽略蜕变过程)可用下式表示<sup>[4]</sup>:

$$\frac{\partial c}{\partial t} = D \frac{\partial^2 c}{\partial x^2} - v \frac{\partial c}{\partial x} - \frac{\rho_d}{n} \frac{\partial s}{\partial t} \quad (1)$$

式中 C 为污染物的浓度(mg/L),S 为吸附相中污染物质量百分率;D 为扩散系数(m<sup>2</sup>/s);v 为渗流速度(m/s);ρ<sub>d</sub> 为多孔介质的干密度(kg/m<sup>3</sup>);n 为多孔介质的孔隙率。

如果吸附是线性的平衡吸附(S = K<sub>d</sub>C(K<sub>d</sub> 为吸附分配系数,L<sup>3</sup>M<sup>-1</sup>)),则方程(1)变为式(2)的形式:

$$R_f = \frac{\partial c}{\partial t} = D \frac{\partial^2 c}{\partial x^2} - v \frac{\partial c}{\partial x} \quad (2)$$

$$\text{其中 } R_f \text{ 为阻滞系数, } R_f = 1 + \rho_d b k d / n \quad (3)$$

方程(2)在不同边界条件、不同初始条件下的解有解析解、半解析解和 Laplace 转换解。但非线性吸附平流 - 弥散方程是得不到解析解和 Laplace 转换解的,只能通过数值方法解,比如利用差分方法,但关于这方面的分析研究鲜有报道。只有 Rowe (1995)<sup>[7]</sup>、Smith and Jaffe(1994)<sup>[8]</sup>提到过,但都没有进行过详细、具体的分析。作者用差分方程求得了

收稿日期:2010-08-15

基金项目:上海市城乡建设和交通委员会项目(重科 2008-006);国家自然科学基金青年基金项目(50708079)

作者简介:席永慧(1965-),女,副教授,工学博士,从事岩土工程研究。

Freundlich 吸附模式下一维平流—弥散方程的解, 对不同吸附指数情况下、不同时间、不同屏障位置上的浓度进行了分析, 并对差分格式的收敛性进行了分析。

## 1 一维非线性吸附平流—弥散迁移方程及其解

### 1.1 一维非线性吸附平流—弥散迁移方程

对非线性平衡吸附,  $S$  和  $C$  的关系可用 Freundlich 等温线(式 4)或 Langmuir 等温线(式 5)来表示:

$$S = K_f C^\beta \quad (4)$$

式中:  $K_f$ 、 $\beta$  为 Freundlich 常数, 当  $\beta=1$  时,  $K_f$  相当于  $k_d$ 。

$$\frac{C}{S} = \frac{1}{K_L B} + \frac{C}{B} \quad (5)$$

式中  $B$  为最大吸附量,  $K_L$  为 Langmuir 常数。

将上面两式(式 4、5)代入迁移方程(1), 得到的方程的形式同(2), 但 Freundlich 阻滞系数和 Langmuir 阻滞系数的表达式分别为:

$$\text{Freundlich 阻滞系数 } R_f = 1 + \frac{\rho \beta K_f}{n} C^{(\beta-1)} \quad (6)$$

$$\text{Langmuir 阻滞系数 } R_L = 1 + \frac{\rho \beta K_L}{(1+K_L C)^2} \quad (7)$$

对一多孔介质(如土壤), 假设多孔介质服从线性吸附的部分质量所占比例为  $\theta$ , 符合 Freundlich 吸附的质量部分所占比例为  $1-\theta$ , 则  $S$  和  $C$  之间的关系可用下式表达(smith and Jaffe 1994<sup>[9]</sup>):

$$S = \theta K_d C + (1-\theta) K_f C^\beta \quad (8)$$

相应的阻滞因子表达式变为:

$$R_f = 1 + \frac{\rho}{n} [\theta K_d + (1-\theta) b K_f C^{(\beta-1)}] \quad (9)$$

如果  $\theta=1$ , 式(8)简化为式(3), 如果  $\theta=0$ , 式(8)等

$$\begin{aligned} & \left[ \begin{array}{c} C_1 \\ C_2 \\ M \\ C_i \\ M \\ C_{N-2} \\ C_{N-1} \end{array} \right]^k = \left[ \begin{array}{c} C_1 \\ C_2 \\ M \\ C_i \\ M \\ C_{N-2} \\ C_{N-1} \end{array} \right]^k + \\ & \left[ \begin{array}{cccccc} -(2D+v\Delta x)/R_1^k & D/R_1^k & 0 & 0 & 0 & 0 & 0 \\ (D+v\Delta x)/R_2^k & -(2D+v\Delta x)/R_2^k & D/R_2^k & 0 & 0 & 0 & 0 \\ 0 & 0 & \Lambda & \Lambda & 0 & 0 & 0 \\ 0 & 0 & 0 & 0 & \Lambda & 0 & 0 \\ 0 & 0 & 0 & 0 & 0 & \Lambda & 0 \\ 0 & 0 & 0 & 0 & 0 & 0 & \Lambda \\ \hline 0 & 0 & (D+v\Delta x)/R_i^k & -(2D+v\Delta x)/R_i^k & D/R_2^k & 0 & 0 \\ 0 & 0 & 0 & 0 & 0 & 0 & 0 \\ 0 & 0 & 0 & 0 & 0 & 0 & 0 \\ 0 & 0 & 0 & 0 & 0 & 0 & 0 \\ 0 & 0 & 0 & 0 & 0 & 0 & 0 \\ \hline & & (D-v\Delta x)C_0 & 0 & 0 & 0 & 0 \\ & & 0 & M & C_i & M & 0 \\ & & 0 & 0 & 0 & 0 & 0 \end{array} \right] \\ & + \frac{\Delta t}{\Delta x^2} \left[ \begin{array}{c} (D-v\Delta x)C_0 \\ 0 \\ M \\ C_i \\ M \\ 0 \\ 0 \end{array} \right] \end{aligned}$$

将上述差分的结果(式 12)写成矩阵形式如下:

对边界条件和初始条件的差分如下:

$$C_i^0 = C_b \quad C_0^k = C_0 \quad C_{i-1}^k = C_{i-1}^k$$

同于式(4)。

假设非线性吸附符合 Freundlich 等温线, 且假设  $\theta=0$ , 则一维平流—弥散迁移方程为:

$$(1 + \frac{\rho K_f}{n} \beta C_i^{(\beta-1)}) \frac{\partial C}{\partial t} = D \frac{\partial^2 C}{\partial x^2} - v \frac{\partial C}{\partial x} \quad (10)$$

### 1.2 一维非线性吸附平流—弥散迁移方程的差分解

对式(10)写成差分格式:

$$\begin{aligned} (1 + \frac{\rho K_f}{n} \beta C_i^{(\beta-1)}) \frac{C_{i+1}^{k+1} - C_i^k}{\Delta t} = & \\ \frac{D C_{i+1}^k - 2C_i^k + C_{i-1}^k}{\Delta x^2} - v \frac{C_i^k - C_{i-1}^k}{\Delta x} C_{i+1}^{k+1} - C_i^k = & \\ \frac{D \Delta t}{\Delta x^2 (1 + \frac{\rho K_f}{n} \beta C_i^{(\beta-1)})} (C_{i+1}^k - 2C_i^k + C_{i-1}^k) - & \\ \frac{v \Delta t}{\Delta x (1 + \frac{\rho K_f}{n} \beta C_i^{(\beta-1)})} (C_i^k - C_{i-1}^k) & \end{aligned} \quad (11)$$

定义

$$R_i^k = 1 + \frac{\rho K_f}{n} \beta C_i^{(\beta-1)}$$

则

$$\begin{aligned} C_i^{k+1} = & C_i^k + \frac{D \Delta t}{\Delta x^2 R_i^k} (C_{i+1}^k - 2C_i^k + C_{i-1}^k) - \frac{v \Delta t}{\Delta x R_i^k} (C_i^k - C_{i-1}^k) \\ C_i^{k+1} = & C_i^k + \frac{D \Delta t}{\Delta x^2 R_i^k} (C_{i+1}^k - 2C_i^k + C_{i-1}^k) - \frac{v \Delta t}{\Delta x R_i^k} (C_i^k - C_{i-1}^k) \\ C_i^{k+1} = & C_i^k + \frac{\Delta t}{\Delta x^2} \frac{D}{R_i^k} C_{i+1}^k + \frac{\Delta t}{\Delta x^2} (-\frac{2D + v \Delta t}{R_i^k}) C_i^k + \\ & \frac{\Delta t}{\Delta x^2} \frac{D + v \Delta t}{R_i^k} C_{i-1}^k \end{aligned} \quad (12)$$

边界和初始条件假设为:

$$\begin{cases} C(x, 0) = C_b \\ \frac{\partial C(1, t)}{\partial x} = 0 \\ C(0, 1) = C_0 \end{cases} \quad (13)$$

式(13)要求  $C_0 > C_b$ ,  $C_0$  是污染源的浓度值, 保持不变;  $C_b$  是迁移发生前, 屏障中本身存在的该物质的浓度, 或称污染物浓度背景值。

## 2 非线性吸附演算例子

为了说明一维非线性吸附平流—弥散方程用

差分法计算的可行性,考虑一假想的有限厚度的多孔介质屏障。假设屏障的厚度  $L=1$ , 屏障的孔隙率  $n=0.5$ , 背景浓度值  $C_b=0.0001$ , 污染物的  $c$  浓度  $C_0=1.0$ , 渗流速度  $v=0.005 \text{ m/a}$ , 扩散系数为  $D=0.005 \text{ m}^2/\text{a}$ 。Freundlich 吸附指数  $\beta$  分别考虑 3 种情况:

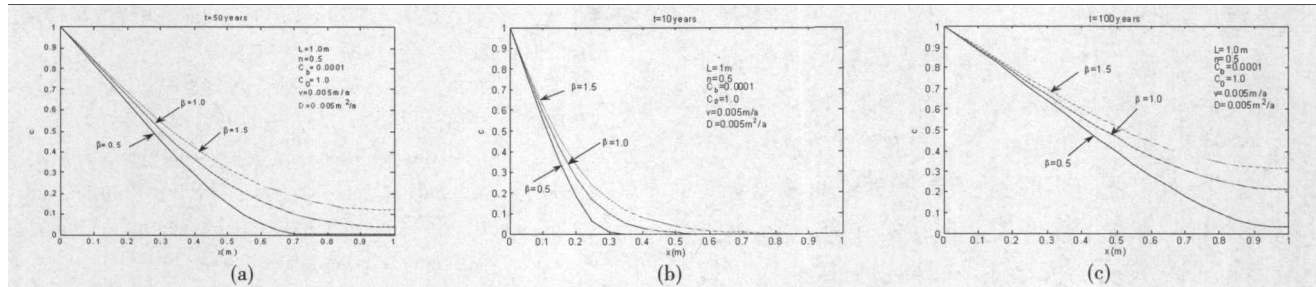


图 1 不同时间、不同吸附指数  $\beta$  时的  $c \sim x$  曲线

位置上污染物的浓度。

用程序还可计算任意位置上, 污染物的浓度随时间的变化规律。这里列出了靠污染源( $x=0.05 \text{ cm}$ )、屏障中间( $x=0.5 L$ )及屏障出口( $x=L$ )3 个位置上的计算结果(见图 3)。

### 3 算例结果讨论

从图 1 中看出:(1)对于固定的时间  $t$ , 污染物迁移进入屏障内的浓度随着距离的增大而减小, 如迁移进行到 50 年时, 屏障内的污染物浓度, 在  $\beta=1.5$  情况下,  $x=0.1 \text{ m}, 0.5 \text{ m}, 1.0 \text{ m}$  位置处分别是 0.82、0.33、0.12;(2)对一固定的时间  $t$ , 屏障内任一位置的浓度随着吸附指数的增大是增大的,这在图 1(a)、(b)、(c)中反映都明显。必须注意特征(2)只在  $C_0=1.0$  时成立, 如  $C_0=100$ , 屏障内任一位置的浓度随着吸附指

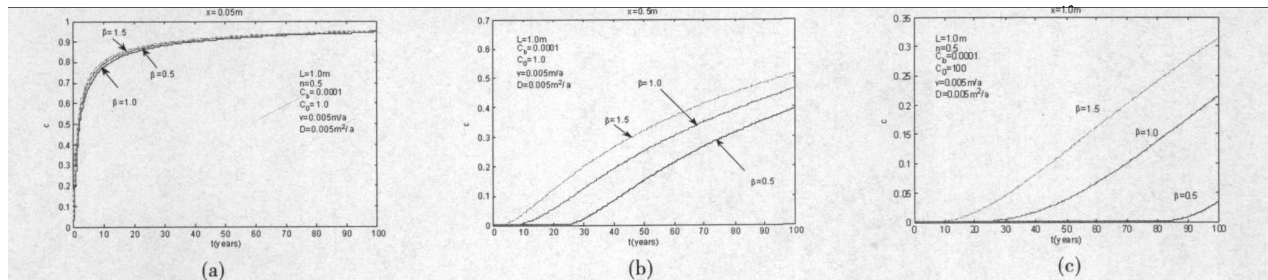


图 3 多孔屏障不同位置、不同吸附指数  $\beta$  时的  $c \sim t$  曲线

响越大。必须注意特征(2)只在  $C_0=1.0$  时成立, 如  $C_0=100$ , 屏障内任一位置的浓度随着吸附指数的增大是减小的,见图 4。

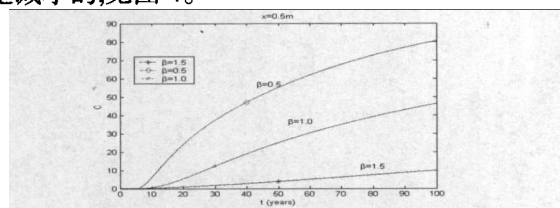


图 4  $C_0=100$  时在  $x=0.5 \text{ m}$  处  $c \sim t$  曲线

0.5, 1, 1.5。

本文对上面的矩阵用 fortran 语言编制了程序。用该程序,计算了任意时间,屏障内不同位置上污染物的浓度。图 1 为 0.5, 1, 1.5 三种吸附指数情况下,时间  $t$  分别为 10 年、50 年和 100 年时,屏障内不同

数的增大是减小的,见图 2。

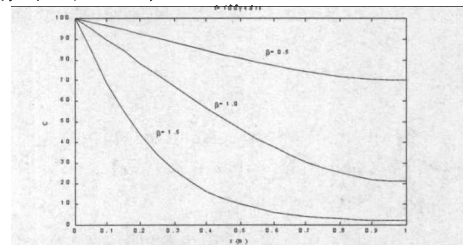


图 2  $C_0=100$  时不同吸附指数  $\beta$  时的  $c \sim x$  曲线

从图 3 可看出:(1)对一固定的位置,浓度随时间的增大而增大;(2)对一固定的位置,浓度随着吸附指数的增大是增加的。从图 3(a)中看出,浓度在紧靠污染源一侧,任何吸附指数情况下,到一定时间(图中约 50 年)时,污染物的浓度都趋于一接近源浓度的常数值。比较图 3(a)、(b)、(c)3 个图,可发现:吸附指数  $\beta$  的大小对浓度的影响,在离污染源越远处,影

关于差分格式的收敛性。这里对于迁移方程(式 10)的解是采用了显式差分格式(式 12),要使其解收敛,必须  $\frac{\Delta t}{\Delta x^2} \frac{D}{R_i} \leq \frac{1}{2}$ , 本文计算中,取  $\Delta t=10^{-4}$ ,  $\Delta x=5 \times 10^{-2}$ ,  $D=0.005 \text{ m}^2/\text{a}$ ,  $R_i \geq 1$ , 能满足收敛的条件。数值计算结果证明了这一点。

### 4 结 论

本文对目前还少有人研究的多孔介质中的一维

非线性吸附平流-弥散方程进行了分析，并假设Freundlich吸附模式，用差分方程求得了模型的数值解，对不同吸附指数情况下、不同时间、不同屏障位置上的浓度进行了分析，并绘制了图表。计算结果表明：本文使用的差分方法，得到的结果是合理的，差分格式是收敛的。

差分方法，从理论上讲可以用来分析实验室扩散试验的结果，如测定污染源浓度随时间的变化，或扩散试验进行一段时间后，测定屏障中浓度随距离的变化。可以假定不同的参数，用理论曲线拟合实验数据，得到匹配的参数值。但在实际应用中，由于反应性(活性)物质的模型还不成熟，另外 $\theta$ (服从线性吸附的部分质量所占比例)的确定比较困难，限制了差分方法在非线性吸附平流-弥散方程中的应用，因此对于差分模型用于反应性屏障系统值得进一步研究。

#### 参考文献：

- [1] Bradio H H. Vertical Barriers with increased Sorption Capacities [A]. International Contaminant Technology Conference [C]. Florida:[sn], 1997: 645-651 .
- [2] Weng C H. Removal of Nickel (II) from Dilute Aqueous Solution by Sludge-Ash [J]. Journal of Environmental Engineering, 2002, 128(8): 716-722 .
- [3] Bereket G, Aroguz A Z, Ozel M Z. Removal Of Pb(II), Cd(II), Cu(II), and Zn (II) from Aqueous Solutions by Adsorption on Bentonite [J]. Journal of Colloid and Interface Science, 1997, 187, 338-343 .
- [4] 席永慧,胡中雄.粉煤灰及膨润土等对Cd<sup>2+</sup>吸附性能的比较研究[J].农业环境科学学报,2004,23(5):930-934 .
- [5] 席永慧,赵红,胡中雄.粉煤灰、粘土、膨润土等对Zn<sup>2+</sup>的吸附试验研究[J].岩土力学,2005,26(8):96-99,114 .
- [6] Rabideau A J. Section 10: Contaminant transport modeling [A]. Rumer and Mitchell ed., Assessment of Barrier Containment Technologies [C]. International Containment Technology Workshop. Baltimore, Maryland, 1999: 247-299 .
- [7] Rowe R K, Booker J R . Clayey Barrier System for Waste Disposal Facilities [M]. E&FN spoon, London.1995 .
- [8] Rowe R K. Eleventh Canadian Geotechnical Colloquium: 1 Contaminant migration through groundwater the role of modeling in the design of barrier [J]. Can. Geotech. J., 1988,25: 778-798 .
- [9] Rowe R K. Eleventh Canadian Geotechnical Colloquium: 1 Contaminant migration through groundwater the role of modeling in the design of barrier [J]. Can. Geotech. J. 1988, 25: 778-798 .